

# بررسی رفتار ویسکو الستیک و وابسته به زمان رب گوجه فرنگی

امیر حیدری نسب<sup>a\*</sup>، وحید مقدم نانسا<sup>b</sup>

<sup>a</sup>دانشیار دانشکده مهندسی شیمی، دانشگاه آزاد اسلامی، واحد علوم و تحقیقات تهران

<sup>b</sup>دانشجوی دکتری مهندسی شیمی- صنایع غذایی، دانشگاه آزاد اسلامی، واحد علوم و تحقیقات تهران

## چکیده

مقدمه: در این مقاله سعی شده به بررسی رفتار رئولوژیکی رب گوجه فرنگی از نظر ویسکوالاستیک و خواص وابسته به زمان آن پرداخته شود تا بتوان از این پارامترها در طراحی واحدهای مختلف تولید رب گوجه فرنگی به صورت صنعتی کمک گرفت.

مواد و روش ها: رفتار رئولوژیکی رب گوجه فرنگی در دستگاه ویسکومتر بروکفیلد اسپیندل دار مورد بررسی قرار گرفته است.

یافته ها: منحنی رفتار تنش (ویسکوزیته ظاهری) نسبت به زمان در نرخ کرنش های متفاوت جهت بررسی رفتار وابسته به زمان و رفتار ویسکوالاستیک نمونه ها فراهم گردید.

نتیجه گیری: نتایج نشان می دهد که در قسمت وابسته به زمان، نمونه از رفتار تیکسوتروپیک (رقیق شونده با زمان) تبعیت می نماید. جهت بررسی رفتار ویسکوالاستیک از دو آزمایش فرارفت تنش در زمان اعمال نرخ کرنش و کاهش تدریجی تنش در زمان حذف نرخ کرنش که هر دو حاکی از خاصیت ویسکوالاستیک بودن نمونه مورد نظر می باشد، استفاده گردید و در نهایت یک مدل ریاضی که بیانگر هر دو رفتار ویسکوالاستیک و وابسته به زمان برای رب گوجه فرنگی می باشد، ارائه شده است.

**واژه های کلیدی:** تیکسوتروپیک، رب گوجه فرنگی، رئولوژی، ویسکوالاستیک

**مقدمه**

بخش عمده گوجه فرنگی جهان در راستای تولید رب گوجه فرنگی مصرف می شود که این ماده در بسیاری از مواد غذایی مانند سس، سوپ و کچاپ مورد استفاده قرار می گیرد (Valencia *et al.*, 2003).

رب گوجه فرنگی از ذرات جامد معلق (پالپ) در محلول آبی (سرم) تشکیل یافته (Yoo & Rao, 1994) که بعد از جدا کردن پوست و دانه و تنظیط آب گوجه فرنگی حاصل می گردد و دارای مواد جامد قابل حل طبیعی در حدود ۲۴ درصد یا بیشتر است (Hayes *et al.*, 1998). ویسکوزیته محصول یکی از شاخصهای مهم در ارزیابی کیفیت کلی و مقبولیت مصرف کننده می باشد. بنابراین اطلاع داشتن از ویسکوزیته یا تنش برشی در هر شرایطی هم برای طراحی واحدهای مختلف و هم برای کنترل کیفیت مهم می باشد. به این منظور نیاز به آگاهی از رفتار جریانی این ماده می باشد. مدلهای تجربی مختلفی توسط محققان (Sharma *et al.*, 1996) ارائه گردیده تا رفتار جریانی رب گوجه فرنگی را مشخص کنند (هرشل بالکلی؛ کیسون و....) که بسیاری از این مدلها رفتار رئولوژیکی را با در نظر گرفتن تأثیرات سایز مش صافی ها و دمای خرد کردن (Sanchez *et al.*, 2003) یا میزان هموژناسیون (Xu *et al.*, 1986) یا تأثیرات Barbara & El-Omri, (2009) بررسی می کنند. لذا در همه مدلهای بدست آمده فرض بر این بوده که رب گوجه فرنگی رفتار مستقل از زمان را دارا می باشد (Bayod *et al.*, 2007). بنا به گفته محققان، تحقیقات در مورد رفتار وابسته به زمان و ویسکوالاستیک بسیار اندک می باشد (Bayod *et al.*, 2007) و در اندک تحقیقات موجود مدلهای ارائه شده بر اساس توابع کاهش نمایی بوده (De Kee *et al.*, 1983).

نتایج تحقیقات نشان می دهد که محصولات حاصل از گوجه فرنگی مانند رب گوجه فرنگی از تابع کاهش نمایی پیروی نمی کند (Bayod *et al.*, 2007). لذا در این مقاله سعی شده رفتار وابسته به زمان و ویسکوالاستیک رب گوجه فرنگی به صورت مجزا بررسی گردیده و با استفاده از روابط مناسب (Steffe, 1996) پارامترهای رئولوژی وابسته به زمان که رفتار تیکسوتروپیک را دارا می باشد و همچنین اثر شروع و خاتمه تشیش بر ماده

۲۲

که در پارامترهای ویسکوالاستیک مؤثر است را مدل کرد تا بتوان از این مدلها در طراحی واحدهای مختلف تولید رب گوجه فرنگی از قبیل همزن ها، مبدل های حرارتی و تبخیر کننده ها کمک گرفت.

**مواد و روش ها****- آماده سازی نمونه**

گوجه فرنگی تازه از نوع Rio Grande در اندازه و شکل و رنگ مشابه به عنوان ماده اولیه برای تهیه رب گوجه فرنگی با مشخصات زیر جهت انجام آزمایشات استفاده شد: مواد جامد محلول در ۲۰ درجه سانتیگراد =  $\text{pH} = ۴/۱$  ،  $\text{pH} = ۵/۲۵$ ٪ و اسیدیته کل =  $۳/۸$ ٪ . سپس ماده اولیه در حوض آبی شستشو داده شد و توسط دستگاه خرد کن به تکه های کوچک تبدیل شد سپس توسط حرارت دهی اولیه به میزان ۸۵ درجه سانتیگراد وارد مبدل حرارتی گردید بعد از حرارت اولیه جهت جدا کردن دانه و پوسته به صافی دو مرحله ای هدایت شد و در نهایت آب گوجه فرنگی حاصل به منظور تنظیط تا  $۲۵ \pm ۰/۵$  بریکس وارد تبخیر کننده دو مرحله ای گردید.

**- روش تعیین غلظت**

برای اندازه گیری میزان غلظت نمونه، دستگاه رفراکتومتر ATA مورد استفاده قرار گرفت لذا مقداری از نمونه داخل کاغذ صافی ریخته شده و با فشار فیزیکی عصاره خارج شده داخل رفراکتومتر قرار می گیرد و مقدار درصد مواد جامد (غلظت) توسط این دستگاه تعیین گردید.

**- اندازه گیری ویسکوزیته و درصد گشتاور**

جهت اندازه گیری ویسکوزیته و درصد گشتاور نمونه مورد نظر، از دستگاه ویسکومتر بروکفیلد DV-II<sup>+</sup> Programmable دیسکی مورد استفاده از نوع RV6 انتخاب گردید و پنج نرخ کرنش برای بدست آوردن پارامترهای معادله پاولولا (K,n) و چهار نرخ کرنش برای بدست آوردن پارامترهای رفتار تیکسوتروپیک و ویسکوالاستیک برای نمونه مورد نظر اعمال گردید لازم به ذکر است آزمایشات در دمای ۱۸ درجه سانتیگراد و در دو تکرار برای نمونه مورد نظر انجام گرفت و نتایج ارائه شده به صورت متوسط دو بار تکرار می باشد.

<sup>1</sup>- Herschel Bulkly<sup>2</sup>- Casson

جدول ۲- مقادیر C برای ویسکومترهای Brookfield

مدل ویسکومتر	C (بدون بعد)
.۵	$\frac{1}{2} RV$
۱	RV
۲	HAT
۸	HBT

قدم سوم محاسبه نرخ کرنش متوسط می‌باشد که توسط رابطه زیر بدست می‌آید.

$$\dot{\gamma}_a = k_{\dot{\gamma}}(N) \quad (4)$$

که  $k_{\dot{\gamma}}$  بستگی به مقدار عددی n محاسبه شده دارد و از رابطه زیر بدست می‌آید.

$$k_{\dot{\gamma}} = 0.263 \left( \frac{1}{n} \right)^{1/771} \quad (5)$$

#### - رفتار تیکسوتروپیک (رقیق شونده با زمان)

طبق تعریف تیکسوتروپیک، موادی که دارای این ویژگی می‌باشند بعد از اعمال نرخ کرنش، ویسکوزیته ظاهری آنها با گذشت زمان روند کاهشی پیدا می‌کند تا به یک مقدار ثابت برسد و با گذشت زمان تعییر نکند (نمودار ۱). لذا برای مدل کردن این رفتار، نمونه مورد نظر تحت چهار نرخ کرنش مختلف قرار گرفت و زمان اعمال هر نرخ کرنش ۶۰ دقیقه انتخاب شد که در این مدت زمان نمونه مورد آزمایش کاملاً رفتار تیکسوتروپیک را از خود نشان داده و مقدار ویسکوزیته آن به مقدار ثابتی می‌رسد. سپس با استفاده از روابط و توضیحات ارائه شده در قسمت بررسی رفتار تیکسوتروپیک، مدل ریاضی این رفتار مشخص شد.

#### - رفتار ویسکوالاستیک

برای بدست آوردن پارامترهای ویسکوالاستیک از دو آزمایش به شرح زیر استفاده شد.

#### - آزمایش فرارفت تنش برشی

ماده ای که دارای خاصیت ویسکوالاستیک می‌باشد در هنگام اعمال نرخ کرنش که قبلاً در حالت آرمیدگی به سر بردا، فرارفت اولیه ای را در مقدار تنش برشی قبل از رسیدن به حالت یکنواخت نشان می‌دهد ( Steffe, 1996 ). بنابراین از معادله ارائه شده توسط Leider & Bird ( Steffe, 1996 ) برای مدل کردن رفتار ویسکوالاستیک نمونه مورد نظر استفاده شد. به این منظور نمونه مورد نظر تحت نرخ کرنش ثابت قرار داده شد و

#### یافته ها

##### - محاسبه تنش برشی و نرخ کرنش

با توجه به اینکه دستگاه ویسکومتر بروکفیلد با استفاده از اسپیندل های دیسکی قادر به محاسبه تنش برشی و نرخ کرنش نمی‌باشد لذا کمیت های قابل اندازه گیری در این دستگاه که به صورت تعداد دور بر دقیقه، ویسکوزیته ظاهری و درصد گشتاور می‌باشد، باید به کمیت های نرخ کرنش و تنش برشی تبدیل گردد تا بتوان از آنها در محاسبات استفاده کرد. بنابراین از روش زیر Mitschka, Briggs & Steffe, 1997 (1982; Briggs & Steffe, 1997) آوردن نرخ کرنش و تنش برشی از کمیت های دور بر دقیقه و درصد گشتاور استفاده شد. که در این مقاله مقادیر نرخ کرنش و تنش برشی بدست آمده با استفاده از این روش می‌باشد.

قدم اول یافتن شاخص رفتاری جریان (n) می‌باشد که از معادله زیر بدست می‌آید:

$$M = (\text{constant}) N^n \quad (1)$$

یا به صورت فرم لگاریتمی:

$$\ln M = \ln(\text{constant}) + n \ln(N) \quad (2)$$

قدم دوم محاسبه تنش برشی توسط رابطه زیر می‌باشد.

$$\sigma = k_\sigma(C)(M) \quad (3)$$

که مقدار  $k_\sigma$  طبق جدول ۱ با شماره اسپیندل تعییر می‌باشد. و مقدار C به مقدار گشتاور کل قابل اندازه گیری ویسکومتر بستگی دارد (جدول ۲).

جدول ۱- مقادیر  $k_\sigma$  برای اسپیندل‌های Brookfield

شماره اسپیندل	$k_\sigma$ (Pa)
۱	۰.۰۳۵
۲	۰.۰۱۹
۳	۰.۲۷۹
۴	۰.۵۳۹
۵	۱/۰۵
۶	۲/۳۵
۷	۸/۴۰

داده های ویسکوزیته ظاهری طی ۲ ثانیه اول که مقدار ماکریم را تجربه کرده (نمودار ۲)، ثبت شد سپس با استفاده از روابط و توضیحات ارائه شده در قسمت آزمایش فرارفت تنش برشی بخش نتایج و بحث مدل ریاضی این رفتار مشخص گردید.

#### - آزمایش کرنش پله‌ای

ماده ای که دارای خاصیت ویسکوالاستیک باشد بعد از حذف نرخ کرنش که قبل از نرخ کرنش ثابت بوده، مقدار تنش برشی حاصل از حذف نرخ کرنش به تدریج به مقدار یکنواخت کاهش پیدا می کند (Steffe, 1996). جهت انجام این آزمایش نمونه مورد نظر را که به مدت یک ساعت تحت نرخ کرنش ثابت بوده با حذف نرخ کرنش، داده های درصد گشتاور توسط نرم افزار Rheocalc (ارائه شده توسط Brookfield Engineering Lab) که قابلیت ثبت درصد گشتاور در لحظه حذف نرخ کرنش را دارد می باشد، ثبت گردید. داده های حاصل از انجام این آزمایش (نمودار ۳) نشان دهنده خاصیت ویسکوالاستیکی رب گوجه فرنگی مورد آزمایش می باشد سپس با استفاده از Peleg & Normand (Steffe, 1996) و توضیحات و محاسبات ارائه شده در قسمت آزمایش کرنش پله ای بخش نتایج و بحث این رفتار به صورت ریاضی مدل شد.

#### بحث

- تعیین پارامترهای  $K, n$  معادله پاورلا پارامترهای  $K, n$  معادله پاورلا مربوط به قسمت مستقل از زمان می باشد. که برای بدست آوردن این مقادیر نمونه مورد نظر تحت پنج نرخ کرنش متفاوت قرار گرفت و مقادیر تنش متوسط توسط دستگاه ویسکومتر در زمان قبل از کاهش تنش برشی طبق جدول ۳ بدست آمد.

جدول ۳- مقادیر تنش برشی در نرخ کرنش های مختلف

نرخ کرنش (1/s)	تنش برشی (pa)
۱۱/۳	۸۰/۸۱ ± ۱
۱۴/۱۳	۸۴/۳۴ ± ۱/۶۱
۱۸/۸۴	۹۰ ± ۱/۵۵
۲۳/۵۳	۹۱/۵۳ ± ۱/۴۵
۲۸/۵۷	۹۳/۶۲ ± ۱/۸۶

استفاده از معادله پاورلا و اطلاعات جدول ۳ و نتایج حاصل از رگرسیون خطی مقادیر  $K, n$  به صورت زیر مشخص می گردد.

$$\sigma = K(\dot{\gamma})^n \quad (6)$$

یا

$$\ln \sigma = \ln K + n \ln(\dot{\gamma}) \quad (7)$$

بعد از رگرسیون خطی:

$$n = 0.164 \\ K = 54.73 \text{ pa.s}^{0.164}$$

#### - بررسی رفتار تیکسوتروپیک (رقیق شونده با زمان)

با توجه به آزمایشات انجام شده در یک نرخ کرنش ثابت (نمودار ۱) مشاهده شد که ویسکوزیته ظاهری با گذشت زمان کاهش می یابد که دلیل بر رفتار تیکسوتروپیک رب گوجه فرنگی می باشد.

برای مدل کردن رفتار وابسته به زمان با توجه به اصل super position با اعمال پارامتر ساختاری ( $\lambda_t$ ) بر مدل رفتار مستقل از زمان که به صورت رفتار سیال پاورلا می باشد (Tiu & Boger, 1974) می توان خواص وابسته به زمان نمونه مورد نظر را مورد بررسی قرار داد.

$$\sigma = \lambda_t (K(\dot{\gamma})^n) \quad (8)$$

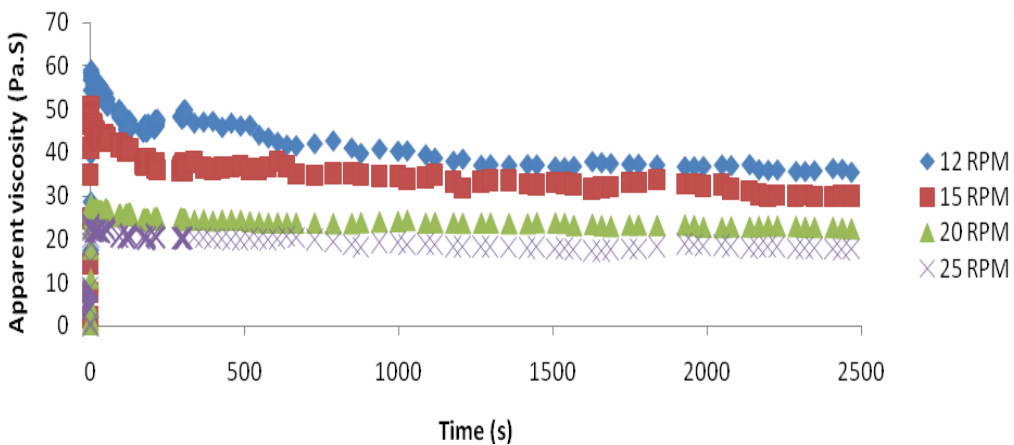
که  $\lambda_t$  تابعیت زمانی دارد و می توان نرخ کاهش آن را با معادله درجه دو تخمین زد.

$$\frac{d\lambda_t}{dt} = -k_t (\lambda_t - \lambda_e) \quad (9)$$

که در اینجا  $k_t$  یک ثابت بوده و تابع نرخ کرنش می باشد لذا با تبدیل معادله (7) به فرم زیر و با توجه به اینکه

$$\sigma = \eta \dot{\gamma} \quad \text{داریم:}$$

$$\lambda_t = \frac{\sigma}{K(\dot{\gamma})^n} = \frac{\eta \dot{\gamma}}{K(\dot{\gamma})^n} \quad (10)$$



نمودار ۱- ویسکوزیته ظاهری در نرخ کرنش‌های مختلف

که یک معادله خطی با شیب  $a_1$  می‌باشد. در جدول ۴ می‌توان مقادیر  $a_1$  در نرخ کرنش‌های مختلف را بدست آورد.

جدول ۴- پارامترهای معادله خطی (۱۷) در نرخ کرنش‌های مختلف

$1/(\eta_0 - \eta_e)$	$a_1$	(sec $^{-1}$ )	نرخ کرنش
$3 \times 10^{-5}$	$1 \times 10^{-7}$		۱۱/۷۳
$5 \times 10^{-5}$	$2 \times 10^{-7}$		۱۴/۶۷
$0/0002$	$4 \times 10^{-7}$		۱۹/۵۶
$0/0001$	$1 \times 10^{-6}$		۲۴/۴۵
$0/0002$	$1/71 \times 10^{-6}$		۲۹/۳۴

با استفاده از معادله (۱۶) می‌توان مقدار  $k_1$  را از روی  $a_1$  بدست آورد. جدول ۵ مقادیر  $k_1$  را در نرخ کرنش‌های مختلف بیان می‌کند.

جدول ۵- مقادیر  $k_1$  در نرخ کرنش‌های مختلف

$K_1$	$a_1$	(sec $^{-1}$ )	نرخ کرنش
$1/2 \times 10^{-6}$	$1 \times 10^{-7}$		۱۱/۷۳
$1/99 \times 10^{-6}$	$2 \times 10^{-7}$		۱۴/۶۷
$3/15 \times 10^{-6}$	$4 \times 10^{-7}$		۱۹/۵۶
$6/57 \times 10^{-6}$	$1 \times 10^{-6}$		۲۴/۴۵
$9/68 \times 10^{-6}$	$1/71 \times 10^{-6}$		۲۹/۳۴

لذا می‌توان از جدول فوق نتیجه گرفت که تابعیت  $k_1$  از زیربه صورت زیر می‌باشد

$$k_1 = 3 \times 10^{-7} \exp(0.118\dot{\gamma}) \quad (19)$$

که در نتیجه می‌توان مقدار  $\lambda_1$  را از رابطه های (۱۰) و (۱۸) به صورت زیر محاسبه کرد.

که در یک نرخ کرنش ثابت خواهیم داشت:

$$\frac{d\lambda_t}{dt} = \frac{d\eta}{dt} \left( \frac{(\dot{\gamma})^{-n}}{K} \right) \quad (11)$$

و در نتیجه:

$$-k_1 (\lambda_t - \lambda_e)^\tau = \frac{d\eta}{dt} \left( \frac{(\dot{\gamma})^{-n}}{K} \right) \quad (12)$$

با جایگذاری معادله (۹) در معادله فوق خواهیم داشت:

$$-k_1 \left( \left( \frac{\eta(\dot{\gamma})^{-n}}{K} \right) - \left( \frac{\eta_e(\dot{\gamma})^{-n}}{K} \right) \right)^\tau = \frac{d\eta}{dt} \left( \frac{(\dot{\gamma})^{-n}}{K} \right) \quad (13)$$

با ساده سازی معادله فوق:

$$\frac{d\eta}{dt} = -a_1 = (\eta - \eta_e)^\tau \quad (14)$$

که

$$a_1 = \frac{k_1(\dot{\gamma})^{-n}}{K} \quad (15)$$

در نتیجه با استفاده از معادله (۱۴):

$$k_1 = a_1 K (\dot{\gamma})^{-n} \quad (16)$$

با انتگرال گیری از معادله (۱۳) داریم:

$$\int_{\eta_e}^{\eta} (\eta - \eta_e)^{-\tau} d\eta = \int_0^t -a_1 dt \quad (17)$$

که نتیجه انتگرال به صورت زیر می‌باشد:

$$\frac{1}{\eta - \eta_e} = \frac{1}{\eta_0 - \eta_e} + a_1 t \quad (18)$$

(۲۰)

$$\lambda_t = \frac{1}{K(\dot{\gamma})^{n-1}} \left( \left( \frac{1}{\eta_0 - \eta_e} + \frac{K(\dot{\gamma})^{n-1}}{K} (t) \right)^{-1} + \eta_e \right)$$

که می توان مقدار  $\frac{1}{\eta_0 - \eta_e}$  را از جدول ۴ و مقدار  $K_1$  را از رابطه (۱۹) بدست آورد. در رابطه فوق نیاز به مقادیر  $K, n$  (پارامترهای معادله پاورلا) می باشد که در قسمت قبل بدست آمد.

- بررسی رفتار ویسکوالاستیک
- آزمایش فرارفت تنش برشی

وقتی که نمونه آزمایش در حالت آرمیدگی می باشد با اعمال ناگهانی نرخ کرنش، مقدار تنش برشی یا متناهراً ویسکوزیته ظاهری فرا رفتی از خود نشان داده و سپس به مقدار ثابت می رسد که حاکی از ویسکوالاستیک بودن رب گوجه فرنگی است (نمودار ۲).

برای بیان کردن این رفتار به صورت ریاضی از معادله (Steffe, 1996) Leider & Bird استفاده شد.

۲۶

(۲۱)

$$\sigma_{\tau_1}^+ = K(\dot{\gamma})^n \left[ 1 + (b\dot{\gamma}t - 1) \exp\left(\frac{-t}{an\lambda_v}\right) \right]$$

که

(۲۲)

$$\lambda_v = \left( \frac{K'}{rK} \right)^{1/(n'-n)}$$

$K'$ ,  $n'$  پارامترهای معادله پاورلا در لحظه قرار گرفتن ماده در تنش ماکریم به هنگام اعمال نرخ کرنش و  $K, n$  مربوط به لحظه قبل از شروع به کاهش تنش برشی به هنگام اعمال نرخ کرنش می باشد لذا مقادیر  $K, n$  با توجه به جدول ۶ و  $K', n'$  با توجه به جدول ۷ و طبق روش ارائه شده در قسمت محاسبه تنش برشی و نرخ کرنش بخش مواد و روشها به صورت زیر می باشد:

$$K' = 51/07$$

$$K = 54/73$$

$$n' = 0/191$$

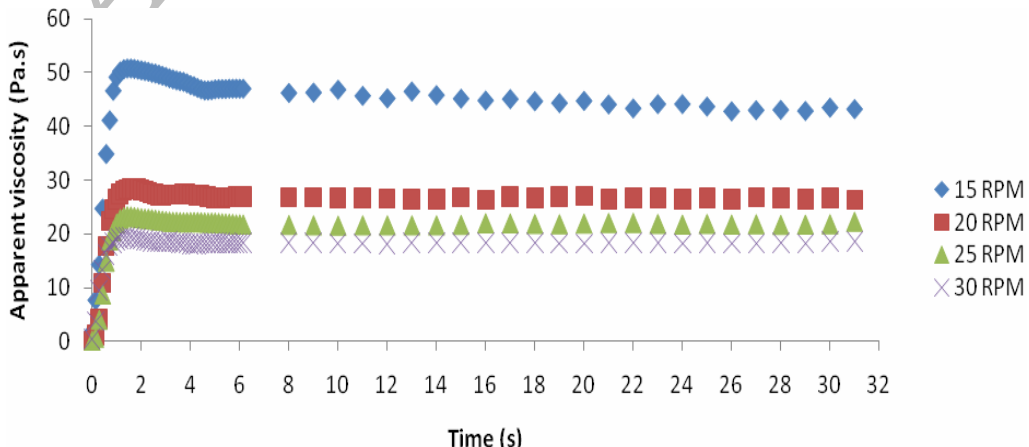
$$n = 0/164$$

جدول ۶- مقادیر تنش و نرخ کرنش در لحظه قبل از شروع به کاهش تنش برشی

تنش برشی (Pa)	نرخ کرنش ( $\text{sec}^{-1}$ )
۸۰/۸۱±۱	۱۱/۳
۸۴/۳۴±۱/۶۱	۱۴/۱۳
۹۱/۰۳±۱/۴۵	۱۸/۸۴
۹۱/۶۵±۱/۶۲	۲۳/۵۶
۹۳/۶۲±۱/۸۶	۲۸/۲۷

جدول ۷- مقادیر تنش و نرخ کرنش در ماکریم مقادیر تنش برشی

تنش برشی (Pa)	نرخ کرنش ( $\text{sec}^{-1}$ )
۸۰/۶±۱/۵۵	۱۱/۳
۸۸/۵۷±۱/۱۵۱	۱۱/۸۹
۸۹/۲۷±۱/۱۷۹	۱۵/۸۵
۹۴±۱	۱۹/۸۲
۹۸/۷۲±۱/۱۳	۲۳/۷۸



نمودار ۲- ویسکوزیته ظاهری در نرخ کرنشهای مختلف در لحظات اولیه اعمال نرخ کرنش

در نرخ کرنش ثابت با گذشت زمان و رفتار ویسکوالاستیک آن باعث فرارفتی در مقدار تنش برشی در لحظات اولیه اعمال نرخ کرنش و کاهش تدریجی مقدار تنش برشی در لحظه حذف نرخ کرنش می‌گردد. که پارامتر ساختاری رفتار تیکسوتروپیک طبق معادله زیر بیان گردید.

$$\lambda_t = \frac{1}{K(\dot{\gamma})^{n-1}} \left( \left( \frac{1}{\eta_e - \eta_e} + \frac{K(\dot{\gamma})^{n-1}}{K}(t) \right)^{-1} + \eta_e \right)$$

$$k_1 = 3 \times 10^{-7} \exp(-0.118\dot{\gamma})$$

$$K = 54/73$$

$$n = 0.164$$

و رفتار ویسکوالاستیک آن در لحظات اولیه اعمال نرخ کرنش طبق رابطه زیر بیان گردید.

$$\sigma_{\tau_1}^+ = f(\dot{\gamma}, t) = K(\dot{\gamma})^n \left( 1 + (b\dot{\gamma}t - 1) \exp\left(\frac{-t}{an\lambda_v}\right) \right)$$

$$\lambda_v = 5/46 \times 10^{-13}$$

$$a = 4/119692974 \times 10^{13}$$

$$b = 1$$

$$K = 54/73$$

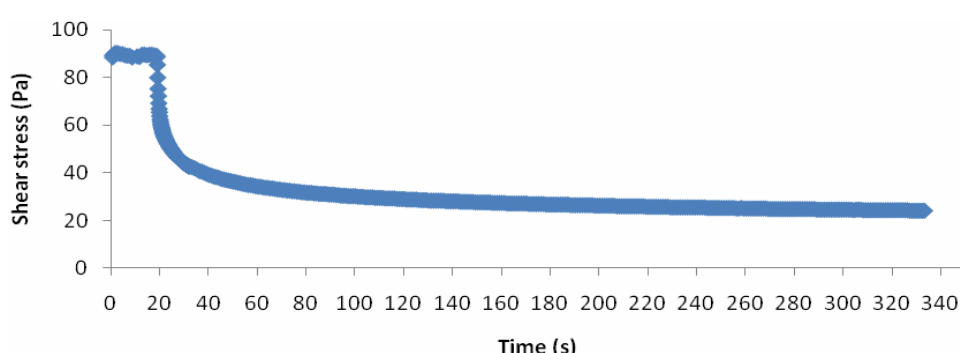
$$n = 0.164$$

و در لحظه حذف نرخ کرنش رفتار آن از رابطه زیر پیروی می‌کند.

$$\frac{\sigma_0 t}{\sigma - \sigma_0} = k_1 + k_2 t$$

$$k_1 = 20/16 \text{ sec}$$

$$k_2 = 1/393$$



نمودار ۳- تنش برشی در مقابل زمان، هنگام حذف نرخ کرنش

که در این صورت

$$\lambda_v = \left( \frac{51/07}{2 \times 54/73} \right)^{1/(0.191-0.164)} = 5/46 \times 10^{-13}$$

با داشتن مقدار  $\lambda_v$  و حل معادله (۲۰) در دو زمان a,b متفاوت قبل از رسیدن به ماکریم تنش برشی مقادیر a,b به صورت زیر بدست می‌آیند.

$$a = 4/119692974 \times 10^{13}$$

$$b = 1$$

### - آزمایش کرنش پله ای

در این قسمت نمونه مورد آزمایش تحت نرخ کرنش ثابت قرار می‌گیرد تا به تنش ثابتی برسد در این لحظه با حذف نرخ کرنش طبق نمودار ۳ مشاهده می‌گردد مقدار تنش به تدریج به یک مقدار نهایی نزدیک می‌گردد که این رفتار حاکی از ویسکوالاستیک بودن نمونه مورد آزمایش می‌باشد.

برای بیان این رفتار به صورت ریاضی از معادله Peleg (Steffe, 1996) & Normand استفاده شد.

$$\frac{\sigma_0 t}{\sigma - \sigma_0} = k_1 + k_2 t \quad (23)$$

که با استفاده از اطلاعات نمودار ۳ و رگرسیون خطی می‌توان مقادیر  $k_1, k_2$  را به صورت زیر ارائه کرد.

$$k_1 = 20/16 \text{ sec}$$

$$k_2 = 1/393$$

### نتیجه گیری

با توجه به آزمایشات انجام شده، رب گوجه فرنگی رفتار ویسکوالاستیک و تیکسو تروپیک را از خود نشان داد که رفتار تیکسوتروپیک آن باعث کاهش ویسکوزیته ظاهری

فهرست عالیم و اختصارات						
$\sigma_{\gamma}^+$	تابع رشد تنش برشی، Pa	n	شاخص رفتاری جریان	$\dot{\gamma}$	نرخ کرنش، $\text{sec}^{-1}$	
$\lambda_v$	ثابت زمانی معادله برد-لیدر	t	زمان، sec	$\sigma$		تنش برشی، Pa
$k_{\dot{\gamma}}$	ضریب تبدیل نرخ کرنش	$\eta$	ویسکوزیته ظاهری، Pa.s	$\sigma_0$		تنش برشی اولیه، Pa
$k_{\sigma}$	pa	$\eta_e$	ویسکوزیته ظاهری تعادلی، Pa.s	$\lambda_t$		پارامتر ساختاری
C	ثابت بدون بعد	K	ضریب سازگاری، $\text{Pa.s}^n$	$\lambda_e$		پارامتر ساختار تعادلی
		M	درصد گشتاور	N		سرعت چرخش اسپیندل، دور بردیقه

### منابع

- Barbara, C. & El-Omri, A. (2009). Viscometric behavior of reconstituted tomato concentrate. *J. Food bioprocess technol.*
- Bayod, E., Mansson, P., Innings, F., Bergenstahl, B. & Tornberg, E. (2007). Low shear rheology of concentrated tomato products. Effect of particle size. *J. Food biophysics*, 2, 146-157.
- Briggs, J. L. & Steffe, J. F. (1997). Using brookfield data and Mitschka method to evaluate power law foods. *J. Text. Stud.*, 28, 517-522.
- De kee, D., Code, R. K. & Turcotte, G. (1983). Flow properties of time-dependent food stuff. *J. Rheol.*, 27, 581-604.
- Hayes, W. A., Smith, P. G. & Morris, A. E. J. (1998). The production and quality of tomato concentrates. Critical review food science nutrition, 38, 537-564.
- Mitschka, P. (1982). Simple conversion of brookfield R.V.T. readings into viscosity functions. *J. Rheol. Acta.*, 21, 207-209.
- Sanchez, M. C., Valencia, C., Ciruelos, A., Latorre, A. & Gallegos, C. (2003).

Rheological properties of tomato paste: Influence of the addition of tomato slurry. *J. Food Sci.*, 68, 551-554.

Sharma, S. K., Lemaguer, M., Liptay, A. & Poysa, V. (1996). Effect of composition on the rheological properties of tomato thin pulp. *Food research Int.*, 29, 175-179.

Steffe, J. F. (1996). Rheological methods in food process engineering (2<sup>nd</sup> ed., pp. 294-312). Michigan state university: Freeman press.

Tiu, C. & Boger, D. V. (1974). Complete rheological characterization of time-dependent food products. *J. Text. Stud.*, 5, 329-338.

Valencia, C., Sanchez, M. C., Ciruelos, A., Lattore, A., Madiedo, J. M. & Gallegos, C. (2003). Non-linear viscoelasticity modeling of tomato paste products. *Food research Int.*, 36, 911-919.

Xu, S., Shoemaker, C. F. & Lun, B. S. (1986). Effect of break temperature on rheological properties and microstructure of tomato juice and paste. *J. Food Sci.*, 51, 399-402.

# Viscoelastic and Time Dependant Behavior of Tomato Paste

A. Heidarinasab<sup>a</sup>\*, V. Moghaddam Nansa<sup>b</sup>

<sup>a</sup> Associate Professor of the College of Chemical Engineering, Science and Research Branch, Islamic Azad University, Tehran, Iran.

<sup>b</sup> M. Sc. Student of Chemical Engineering, Science and Research Branch, Islamic Azad University, Tehran, Iran.

Received: 18 October 2009

Accepted: 10 February 2010

## Abstract

**Introduction:** This paper is concerned with rheological behavior of tomato paste from the view point of viscoelasticity and time dependant properties in order to design various units of tomato paste production line.

**Materials and Methods:** Rheological behavior of tomato paste is determined at Spindle Brookfield viscometer

**Results:** Experiments were carried out and determined that time dependant category of the samples show thixotropic behavior. Both stress overshoot and step strain tests emphasized the viscoelastic property of the sample, therefore the appropriate model were obtained to define the viscoelastic and time dependent behavior.

**Conclusion:** This work exhibited one model which consisted of time dependent and viscoelastic rheological behavior of tomato paste. The results of the model are compared with experimental data which indicated good correlations between model result and experimental data. The experimental results showed that tomato paste behaves as a non-Newtonian semi-fluid which follows power law model.

**Keyword:** *Rheology, Thixotropic, Tomato paste, Viscoelastic.*

\* Corresponding Authors: a.heidarinasab@yahoo.com